

NORGES TEKNISK-
NATURVITENSKAPELIGE UNIVERSITET
INSTITUTT FOR TELETEKNIKK

Faglig kontakt under eksamen:
Navn: Magne H. Johnsen
Tlf.: 73 59 26 78/930 25 534

EKSAMEN I FAG TTT4120 DIGITAL SIGNALBEHANDLING

Dato: Tirsdag 13. desember 2011
Tid: Kl. 09.00 - 13.00

Hjelpemidler: D–Ingen trykte eller håndskrevne hjelpemidler tillatt.
Bestemt, enkel kalkulator tillatt.

INFORMASJON

- **Dette er en korrigert eksamen. Korreksjoner er i fet skrift.**
 - Oppgave 1 omhandler analyse av filtre.
 - Oppgave 2 omhandler rasjonale prosessmodeller.
 - Oppgave 3 omhandler fast komma realisering.
 - Oppgave 4 omhandler frekvenstransformasjoner.
 - En del formler er oppgitt i appendiks
 - Vekting av hver deloppgave er angitt i parentes. Totalt antall poeng er 63.
- Alle svar skal begrunnes!
- Faglig kontakt vil gå rundt to ganger, første gang ca. kl. 10.00 og andre gang ca. 11.45.

Oppgave 1 (3+3+6+3 = 15 poeng)

1a) Et stabilt, kausalt LTI-filter er beskrevet ved følgende differanse-ligning:

$$y(n) - \frac{7}{6}y(n-1) + \frac{1}{3}y(n-2) = x(n) - \frac{7}{6}x(n-1), \quad n = -\infty, \infty \quad (1)$$

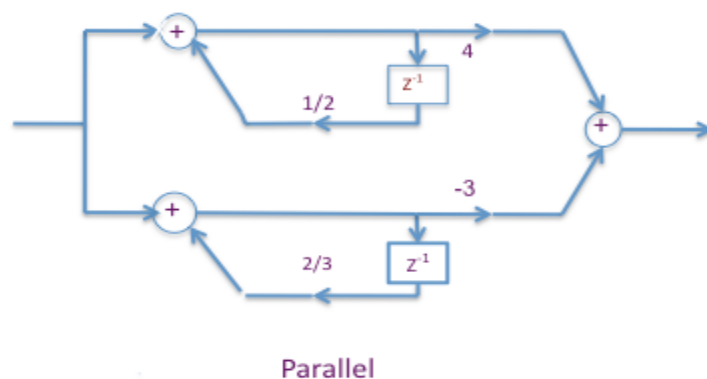
Vis at filterets transferfunksjon er gitt ved:

$$H(z) = H_1(z)H_2(z) = \frac{(1 - \frac{7}{6}z^{-1})}{(1 - \frac{1}{2}z^{-1})(1 - \frac{2}{3}z^{-1})} \quad (2)$$

1b) Gi et *begrunnet* svar på følgende :

- Hva blir konvergensområdet til filteret i oppgave 1a?
- Har filteret lineær fase?
- Har filteret minimum fase?

1c) Gitt parallellstrukturen i Figur 1.



Figur 1: *Parallellstruktur*

Vis at enhetspulsresponsen til filteret er gitt ved :

$$h_P(n) = h_3(n) + h_4(n) \quad \text{hvor}$$

$$h_3(n) = \begin{cases} 4(\frac{1}{2})^n & n \geq 0 \\ 0 & n < 0 \end{cases}$$

$$h_4(n) = \begin{cases} -3(\frac{2}{3})^n & n \geq 0 \\ 0 & n < 0 \end{cases}$$

Vis også at parallellstrukturen implementerer filteret gitt ved lign 2, dvs :

$$H(z) = H_P(z) = H_3(z) + H_4(z) \quad (3)$$

1d) Skisser en kaskadestruktur basert på lign. 2 som oppfyller følgende to kriterier :

- $H_1(z)$ er på direkte form 2 (DF2)
- $H_2(z)$ er plassert nærmest utgangen

Oppgave 2 (4+5+3+4 = 16 poeng)

- 2a)** Krysskorrelasjonssekvensen til to sekvenser $y(n)$ og $x(n)$ med endelig energi er gitt ved

$$\begin{aligned} r_{yx}(m) &= \sum_{n=-\infty}^{\infty} y(n+m)x(n) \quad m \geq 0 \\ r_{yx}(m) &= r_{xy}(-m) \quad m < 0 \end{aligned}$$

Vis at krysskorrelasjonssekvensen til $h_3(n)$ og $h_4(n)$ i deloppgave 1c er gitt ved

$$r_{h_3 h_4}(m) = \begin{cases} -18(\frac{1}{2})^m & m \geq 0 \\ -18(\frac{3}{2})^m & m < 0 \end{cases} \quad (4)$$

- 2b)** Vis at filteret $H(z)$ gitt i oppgave 1 har autokorrelasjonssekvensen :

$$r_{hh}(m) = \begin{cases} \frac{10}{3}(\frac{1}{2})^m - \frac{9}{5}(\frac{2}{3})^m & m \geq 0 \\ r_{hh}(-m) & m < 0 \end{cases} \quad (5)$$

- 2c)** Hvit støy $w(n)$ med effekt $\sigma_w^2 = 1$ påtrykkes parallellstrukturen i figur 1.

Hvilke parametriske prosess-typer tilsvarende henholdsvis utgangssignalet og de interne signalene i strukturen? Begrunn svaret!

- 2d)** Hvit støy $w(n)$ med effekt $\sigma_w^2 = 1$ påtrykkes filteret $H(z)$.

Finn, ved hjelp av lineær prediksjon (dvs. Yule-Walker eller Normal ligningene) filterkoeffisienten a_1 for den beste AR[1]-modellen til filterets utgangssignal $y(n)$.

Vis at prediksjonsfeileffekten, σ_f^2 , alltid oppfyller : $\sigma_f^2 \leq \sigma_y^2$
hvor $\sigma_y^2 = \gamma_{yy}(0)$ er signaleffekten til $y(n)$.

Oppgave 3 (4+4+5+4 = 17 poeng)

Det diskrete filteret i oppgave 1 skal implementeres ved hjelp av **parallellstrukturen** i figur 1.

Filteret skal videre realiseres med fast komma tallrepresentasjon med $B + 1$ bit og dynamikk $[-1, 1)$. Avrunding (kvantisering) foretas etter hver multiplikasjon og avrundingsfeilen, $e(n)$, kan regnes som hvit støy med effekt $\sigma_e^2 = \frac{2^{-2B}}{12}$. Til sammen bidrar alle støykildene på grunn av avrunding til et støysignal $z(n)$ på utgangen med totaleffekt σ_z^2 .

- 3a)** Finn resulterende støyeffekt, σ_z^2 , på utgangen av parallellstrukturen uttrykt ved σ_e^2 .
- 3b)** Finn resulterende støyeffekt, σ_z^2 , på utgangen av parallellstrukturen når en flytter de to grenforsterkningene *foran* sine respektive tilbakekoblinger.
- 3c)** Inngangssignalet $x(n)$ til filteret har full utstyring, dvs. $x_{max} = \max_n |x(n)| = 1$.
- Vis at en for å unngå overstyring i parallellstrukturen brukt i deloppgave 3a må skalere på inngangen **med 1/3 (nedskalering med 3)**.
- Vis videre at man for den andre parallellstrukturen (deloppgave 3b) må skalere på inngangen **med 1/9 (dvs. nedskalering med 9)**.
- 3d)** Signal_ støy forholdet på utgangen er definert ved $SNR = \sigma_y^2 / \sigma_z^2$, hvor σ_y^2 og σ_z^2 er henholdsvis signaleffekt og total støyeffekt på utgangen av det nedskalerte filteret.

Beregn SNR på utgangen for de to nedskalerte parallellstrukturene.

Oppgave 4 (3+4+4+4 = 15 poeng)

4a) Et analogt signal, $x_a(t)$, punktprøves med en avstand $T = 1/F_s$, dvs. $x(n) = x_a(nT)$

Hvilken betingelse må signalet $x_a(t)$ oppfylle hvis det skal kunne gjenvinnes fra $x(n)$?

Gitt at sekvensen $x(n)$ har lengde L . En utfører en N -punkts DFT (Diskret Fourier Transform) på sekvensen.

Hvilke frekvensverdier blir beregnet?

Diskuter betydningen av størrelsen på N versus L .

4b) Hvordan kan man ved bruk av DFT beregne lineær foldning til to signaler $x_1(n)$ og $x_2(n)$ av lengde henholdsvis L_1 og L_2 ?

4c) Hva menes med "overlap-add" metoden for FIR-filtrering av lange sekvenser?

Hvorfor bør en bruke DFT-teknikken i deloppgave 4b som en del av denne metoden?

4d) Forklar kort prinsippet for en radix-2 N -punkts FFT (Fast Fourier Transform).

Some basic equations and formulas.

A. Sequences :

$$\sum_{n=0}^{\infty} \alpha^n = \frac{1}{1-\alpha} \iff |\alpha| < 1$$

$$\sum_{n=0}^{N-1} \alpha^n = \frac{1-\alpha^N}{1-\alpha}$$

B. Linear convolution :

$$y(n) = h(n) * x(n) = \sum_k h(k)x(n-k) = \sum_k x(k)h(n-k)$$

$$Y(z) = H(z)X(z) \Rightarrow Y(f) = H(f)X(f) \Rightarrow$$

$$Y(f_k) = H(f_k)X(f_k) \quad f_k = k/N \quad \text{for } k = 0, \dots, N-1 \quad \text{where we write } Y(k) = Y(f_k)$$

C. Transforms :

$$H(z) = \sum_n h(n)z^{-n} \Rightarrow H(f) = \sum_n h(n) e^{-j2\pi n f}$$

$$\text{DFT} : H(k) = \sum_{n=0}^{L-1} h(n) e^{-j2\pi n k/N} \quad k = 0, \dots, N-1$$

$$\text{IDFT} : h(n) = \frac{1}{N} \sum_{k=0}^{N-1} H(k) e^{j2\pi n k/N} \quad n = 0, \dots, L-1$$

D. The sampling (Nyquist) theorem :

Given an analog signal $x_a(t)$ with bandwidth $\pm B$ which is sampled by $F_s = 1/T_s$:

$$x(n) = x(nT_s) = x_a(t)|_{t=nT_s} \quad n = -\infty, \dots, \infty$$

$$X(f) = X(F/F_s) = F_s \sum_k X_a[(f - k)F_s]$$

$$x_a(t) \text{ can be recovered from } x(n) \Leftrightarrow F_s \geq 2B \quad (6)$$

E. Autocorrelation, energy spectrum and Parsevals theorem :

Given a sequence $h(n)$ with finite energy E_h :

$$\text{Autocorrelation : } r_{hh}(m) = \sum_n h(n)h(n+m) \quad m = -\infty, \dots, \infty$$

$$\text{Energy spectrum : } S_{hh}(z) = H(z)H(z^{-1}) \Rightarrow S_{hh}(f) = |H(f)|^2$$

$$\text{Parsevals theorem: } E_h = r_{hh}(0) = \sum_n h^2(n) = \int_0^{2\pi} |H(f)|^2 df$$

F. Multirate formulaes :

Decimation where $T_{sy} = DT_{sx}$:

$$v(mT_{sy}) = \sum_k h[(mD - k)T_{sx}] x(kT_{sx}) \quad m = -\infty, \dots, \infty$$

Upsampling where $T_{sx} = UT_{sy}$:

$$y(lT_{sy}) = \sum_n h[(l - nU)T_{sy}] x(nT_{sx}) \quad l = -\infty, \dots, \infty$$

Interpolation where $T_{sy} = DT_{sv} = \frac{D}{U}T_{sx}$:

$$y(lT_{sy}) = \sum_m h[(lD - mU)T_{sv}] x(mT_{sx}) \quad l = -\infty, \dots, \infty$$

G. Autocorrelation, power spectrum and Wiener-Khintchin theorem :

Given a stationary, ergodic sequence $x(n)$ with infinite energy :

Autocorrelation : $\gamma_{xx}(m) = E[x(n)x(n+m)] \quad m = -\infty, \dots, \infty$

Power spectrum: $\Gamma_{xx}(z) = Z[\gamma_{xx}(m)] \Rightarrow$

Wiener-Khintchin : $\Gamma_{xx}(f) = DTFT[\gamma_{xx}(m)] = \sum_m \gamma_{xx}(m) e^{-j2\pi mf}$

H. The Yule-Walker and Normal equations where $a_0 = 1$:

Yule-Walker equations : $\sum_{k=0}^P a_k \gamma_{xx}(m-k) = \sigma_f^2 \delta(m) \quad m = 0, \dots, P$

Normal equations: $\sum_{k=1}^P a_k \gamma_{xx}(m-k) = -\gamma_{xx}(m) \quad m = 1, \dots, P$